

УДК 546.882/883'161

КРИСТАЛЛИЧЕСКАЯ СТРУКТУРА И ЯМР ИССЛЕДОВАНИЕ  
ГЕКСАФТОРИДОНИОБАТА(V) И ГЕКСАФТОРИДОТАНТАЛАТА(V)  
4-АМИНО-1,2,4-ТРИАЗОЛИЯ

Р.Л. Давидович<sup>1</sup>, А.А. Удовенко<sup>1</sup>, В.Я. Кавун<sup>1</sup>, В.Б. Логвинова<sup>1</sup>, В.В. Ткачев<sup>2</sup>

<sup>1</sup>Институт химии ДВО РАН, Владивосток, Россия

E-mail: davidovich@ich.dvo.ru

<sup>2</sup>Институт проблем химической физики РАН, Черноголовка, Московская область, Россия

Статья поступила 4 апреля 2015 г.

Методами рентгеноструктурного анализа и ЯМР  $^1\text{H}$  и  $^{19}\text{F}$  спектроскопии исследованы кристаллические структуры и спектроскопические особенности впервые синтезированных гексафторидониобата(V) и гексафторидотанталата(V) 4-амино-1,2,4-триазолия,  $(\text{C}_2\text{H}_5\text{N}_4)\text{MF}_6$  ( $\text{M} = \text{Nb}, \text{Ta}$ ), кристаллизующихся в моноклинной сингонии, пр. гр.  $P2_1/n$ . Кристаллические структуры изоструктурных соединений  $(\text{C}_2\text{H}_5\text{N}_4)\text{MF}_6$  образованы из октаэдрических комплексных анионов  $[\text{MF}_6]^-$  ( $\text{M} = \text{Nb}, \text{Ta}$ ) и монопротонированных гетероциклических катионов 4-амино-1,2,4-триазолия  $(\text{C}_2\text{H}_5\text{N}_4)^+$ , объединенных водородными связями  $\text{N}-\text{H}\cdots\text{F}$  и  $\text{N}-\text{H}\cdots\text{N}$  в трехмерное образование. Определены характер и виды ионных движений во фторидной подрешетке  $(\text{C}_2\text{H}_5\text{N}_4)\text{MF}_6$  в широком интервале температур.

DOI: 10.15372/JSC20160307

**Ключевые слова:** ниобий(V), тантал(V), фтор, 4-амино-1,2,4-триазол, кристаллическая структура, ЯМР, спектры.

Органическо-неорганические гибридные соединения, содержащие органические компоненты, связанные с неорганической частью соединения, интенсивно исследуются в последние два десятилетия благодаря своим уникальным свойствам, что позволяет применять их в качестве новых материалов в оптике, микроэлектронике, ионике, катализе, в сорбции и хранении газов, а также в качестве мембран, датчиков и др. Органическо-неорганические гибридные соединения представляют также интерес для синтеза нанофазных неорганических материалов [1].

В рамках проводимых систематических исследований химии и строения комплексных фторидов металлов IV и V групп Периодической системы с протонированными катионами органических оснований, в частности с катионом гетероциклического основания 4-амино-1,2,4-триазола [2–5], впервые синтезированы комплексные фториды ниobia(V) и тантала(V) с протонированными катионами 4-амино-1,2,4-триазолия  $(\text{C}_2\text{H}_5\text{N}_4)\text{NbF}_6$  (I) и  $(\text{C}_2\text{H}_5\text{N}_4)\text{TaF}_6$  (II). Настоящее сообщение посвящено исследованию кристаллической структуры и ЯМР  $^1\text{H}$  и  $^{19}\text{F}$  спектроскопических свойств синтезированных соединений.

ЭКСПЕРИМЕНТАЛЬНАЯ ЧАСТЬ

Синтез гексафторидониобата(V) и гексафторидотанталата(V) 4-амино-1,2,4-триазолия проводили preparative методом путем взаимодействия 4-амино-1,2,4-триазола с раствором

$\text{Nb}_2\text{O}_5$ , соответственно  $\text{Ta}(\text{OH})_5$ , во фтористоводородной кислоте при мольном отношении исходных компонентов 2:1 и 1:1 соответственно. Полученные после полного растворения осадков растворы оставляли для медленной кристаллизации при комнатной температуре. Образовавшиеся через несколько дней кристаллические соединения отделяли от маточного раствора фильтрованием под вакуумом и сушили на воздухе в течение 2—3 ч. Индивидуальность полученных веществ доказана методами рентгенофазового анализа, ИК и КР спектроскопии.

**Рентгеноструктурное исследование.** Параметры элементарной ячейки кристалла и трехмерный набор интенсивностей I получены в автодифрактометре Xcalibur (Agilent Technologies), укомплектованным CCD камерой Eos ( $\text{Mo}K_{\alpha}$ ,  $\lambda = 0,71073 \text{ \AA}$ , графитовый монохроматор) при 150 К. Структура расшифрована прямым методом по программе SHELXTL и уточнена полноматричным МНК относительно  $F^2$  в анизотропном приближении для неводородных атомов [6]. Все атомы H локализованы в синтезе Фурье разностной электронной плотности и уточнены в изотропном приближении по модели наездника.

Исследование кристаллической структуры II проведено в автодифрактометре Bruker KAPPA APEXII CCD с двойникового кристалла ( $\text{Mo}K_{\alpha}$ -излучение, графитовый монохроматор). Сбор экспериментальных данных проведен при 296 К  $\varphi$ - и  $\omega$ -сканированием с шагом  $0,3^\circ$  в области полусферы обратного пространства с временем экспозиции 10 с на один кадр при расстоянии кристалл—детектор 45 мм. Поглощение учтено эмпирически по программе SADABS [7]. Положения атомов водорода рассчитаны геометрически и включены в уточнение в модели наездника.

Таблица 1

*Кристаллографические данные, параметры эксперимента и уточнения структур I и II*

Параметр	I	II
Брутто-формула	$\text{C}_2\text{H}_5\text{F}_6\text{N}_4\text{Nb}$	$\text{C}_2\text{H}_5\text{F}_6\text{N}_4\text{Ta}$
Молекулярная масса	292,01	380,05
Температура, К	150(1)	296(2)
Длина волны, $\text{\AA}$	$\text{Mo}K_{\alpha}$ (0,71073)	$\text{Mo}K_{\alpha}$ (0,71073)
Сингония	Моноклинная	Моноклинная
Пространственная группа	$P2_1/n$	$P2_1/n$
$a, b, c, \text{\AA}$	7,8518(2), 9,7509(3), 10,5588(3)	7,9668(4), 9,8379(5), 10,5857(5)
$\beta$ , град.	92,918(2)	91,809(2)
$V, \text{\AA}^3$	807,36(4)	829,26(7)
$Z$	4	4
$d_{\text{выч.}}, \text{Г/см}^3$	2,402	3,044
$\mu, \text{мм}^{-1}$	1,557	13,320
$F(000)$	560	688
Размер кристалла, мм	0,4×0,3×0,3	0,30×0,28×0,26
Область сбора данных по $\theta$ , град.	2,85—34,15	2,83—40,48
Интервалы индексов	$-4 \leq h \leq 12, -15 \leq k \leq 15,$ $-16 \leq l \leq 16$	$-14 \leq h \leq 14, 0 \leq k \leq 17,$ $0 \leq l \leq 19$
Измер. / независ. отражений	6835 / 3301	5205 / 5205
Отражений с $I > 2\sigma(I)$	3008	4059
Переменных уточнения	124	129
GOOF	1,184	1,026
$R$ -фактор по $F^2 > 2\sigma(F^2)$	$R_1 = 0,0457, wR_2 = 0,0499$	$R_1 = 0,0372, wR_2 = 0,0847$
$R$ -фактор по всем отражениям	$R_1 = 0,1061, wR_2 = 0,1079$	$R_1 = 0,0535, wR_2 = 0,0913$
Остаточная электронная плотность (min/max), $\text{e}/\text{\AA}^3$	-1,768 / 2,677	-2,703 / 2,485

Таблица 2

Длины связей ( $\text{\AA}$ ) и валентные углы (град.) в структурах I и II

I				II			
Связь	$d, \text{\AA}$	Угол	$\omega, \text{град.}$	Связь	$d, \text{\AA}$	Угол	$\omega, \text{град.}$
<b>Анион</b>							
Nb—F(2)	1,875(4)	F(1)NbF(2)	89,3(1)	Ta—F(2)	1,857(4)	F(1)TaF(2)	89,8(2)
Nb—F(3)	1,885(2)	F(1)NbF(4)	89,0(1)	Ta—F(3)	1,864(3)	F(1)TaF(4)	88,8(2)
Nb—F(5)	1,878(3)	F(3)NbF(2)	90,3(1)	Ta—F(5)	1,872(4)	F(3)TaF(2)	89,0(2)
Nb—F(6)	1,892(2)	F(3)NbF(4)	91,4(1)	Ta—F(6)	1,889(4)	F(3)TaF(4)	92,4(2)
Nb—F(4)	1,892(3)	F(2)NbF(5)	90,5(1)	Ta—F(4)	1,896(3)	F(2)TaF(5)	90,9(2)
Nb—F(1)	1,915(2)	F(2)NbF(6)	91,9(1)	Ta—F(1)	1,906(3)	F(2)TaF(6)	92,4(2)
		F(1)NbF(3)	178,3(1)			F(1)TaF(3)	177,2(2)
		F(2)NbF(4)	178,3(15)			F(2)TaF(4)	178,6(2)
		F(5)NbF(6)	175,7(1)			F(5)TaF(6)	174,2(2)
<b>Катион</b>							
C(1)—N(1)	1,306(4)	N(3)C(1)N(1)	106,3(3)	C(1)—N(1)	1,296(5)	N(3)C(1)N(1)	106,6(3)
C(1)—N(3)	1,342(4)	C(1)N(1)N(2)	112,3(3)	C(1)—N(3)	1,331(5)	C(1)N(1)N(2)	112,4(3)
N(1)—N(2)	1,369(4)	N(1)N(2)C(2)	103,7(3)	N(1)—N(2)	1,354(5)	N(1)N(2)C(2)	103,6(4)
C(2)—N(2)	1,301(4)	N(2)C(2)N(3)	112,2(3)	C(2)—N(2)	1,299(6)	N(2)C(2)N(3)	111,0(4)
C(2)—N(3)	1,367(4)	C(2)N(3)C(1)	106,6(3)	C(2)—N(3)	1,359(5)	C(2)N(3)C(1)	106,4(3)
N(3)—N(4)	1,407(4)	C(1)N(3)N(4)	123,7(3)	N(3)—N(4)	1,402(4)	C(1)N(3)N(4)	124,4(3)
		C(2)N(3)N(4)	129,6(3)			C(2)N(3)N(4)	129,2(3)

Сбор и редактирование данных, уточнение параметров элементарной ячейки проведены в пакете программ ApeX II [ 7 ]. Все расчеты по определению и уточнению структуры выполнены по программам SHELXTL/PC [ 6 ]. Основные кристаллографические данные и детали уточнения кристаллических структур I и II приведены в табл. 1. Длины связей и валентные углы приведены в табл. 2, параметры водородных связей — в табл. 3. CIF-файлы, содержащие полную информацию по исследованным структурам, депонированы в CCDC под номерами 1057521 и 1057522, откуда могут быть свободно получены по запросу на интернет-сайте: [www.ccdc.cam.ac.uk/data\\_request/cif](http://www.ccdc.cam.ac.uk/data_request/cif).

Спектры ЯМР  $^{19}\text{F}$ ,  $^1\text{H}$  записывали на мультиядерном цифровом спектрометре Bruker AV-300 на Ларморовых частотах 282,404 МГц для ядер фтора и 300,13 МГц для протонов в диапазоне температур (130—450) $\pm$ 2 К. Расчет вторых моментов  $S_2$  спектров ЯМР ( $\Gamma\text{с}^2$ ) проводили по оригинальной программе с использованием формул, приведенных в [ 8 ]. Ширину линии  $\Delta H$  (кГц), химические сдвиги (ХС),  $\delta$  (м.д.) и интегральные интенсивности компонент спектров ЯМР  $^{19}\text{F}$  измеряли с ошибкой не более 3, 2 и 5 % соответственно. Величины химических сдвигов сигналов ЯМР  $^{19}\text{F}$  измеряли относительно эталона  $\text{C}_6\text{F}_6$ , а для протонов — относительно сигнала от  $(\text{CH}_4)_3\text{Si}$  (TMC). Энергию активации локальных движений ионов  $E_a$  оценивали, используя уравнение Уо—Федина [ 9 ].

#### РЕЗУЛЬТАТЫ И ИХ ОБСУЖДЕНИЕ

Состав синтезированных гексафторидониобата(V)  $(\text{C}_2\text{H}_5\text{N}_4)\text{NbF}_6$  (I) и гексафторидотанталата(V)  $(\text{C}_2\text{H}_5\text{N}_4)\text{TaF}_6$  (II) 4-амино-1,2,4-триазолия установлен методом рентгеноструктурного анализа. Соединения I и II изоструктурны. Они кристаллизуются в моноклинной сингонии, пр. гр.  $P2_1/n$ . Элементарная ячейка  $(\text{C}_2\text{H}_5\text{N}_4)\text{MF}_6$  ( $M = \text{Nb}, \text{Ta}$ ) содержит четыре формульные единицы (см. табл. 1).

Кристаллическая структура  $(\text{C}_2\text{H}_5\text{N}_4)\text{MF}_6$  образована слегка искаженными октаэдрическими комплексными анионами  $[\text{MF}_6]^-$  ( $M = \text{Nb}, \text{Ta}$ ) и монопротонированными гетероциклическими

Таблица 3

Геометрические параметры водородных связей в структурах I и II

Связь D—H···A	Расстояние, Å						Угол, град.	
	D—H		H···A		D···A			
	I	II	I	II	I	II	I	II
N(1)—H(2)···N(4) <sup>a*</sup>	0,92	0,84	2,05	2,19	2,916(4)	2,969(5)	158	153
N(1)—H(2)···F(1) <sup>a</sup>	0,92	0,84	2,38	2,44	2,909(4)	2,937(5)	117	119
N(4)—H(4)···F(1) <sup>b</sup>	0,99	0,97	2,02	2,09	2,949(4)	3,004(5)	156	156
N(4)—H(5)···F(6) <sup>c</sup>	0,81	0,80	2,36	2,44	2,934(4)	2,983(5)	129	126
N(4)—H(5)···F(4) <sup>d</sup>	0,81	0,80	2,40	2,34	2,890(4)	2,934(5)	119	131
C(1)—H(1)···F(1) <sup>a</sup>	0,87	0,93	2,54	2,41	2,981(4)	3,048(4)	112	106
C(1)—H(1)···N(2) <sup>e</sup>	0,87	0,93	2,48	2,41	3,234(4)	3,243(6)	146	149
C(2)—H(3)···F(5) <sup>f</sup>	0,92	0,93	2,52	2,49	3,081(4)	3,138(6)	120	127

\* Коды симметрии: <sup>a</sup> 1/2—x, -1/2+y, 1/2-z; <sup>b</sup> -x+1, -y+1, -z+1; <sup>c</sup> x, y, 1+z; <sup>d</sup> -x, -y+1, -z+1; <sup>e</sup> 1/2-x, 1/2+y, 1/2-z; <sup>f</sup> x, -1+y, z.

катионами 4-амино-1,2,4-триазолия ( $\text{C}_2\text{H}_5\text{N}_4$ )<sup>+</sup> (рис. 1, *a*, *b*). Упаковка структурных элементов в элементарной ячейке ( $\text{C}_2\text{H}_5\text{N}_4$ ) $\text{MF}_6$  представлена на рис. 2.

Октаэдрические комплексные анионы  $[\text{MF}_6]^-$  (M = Nb, Ta) содержатся в кристаллических структурах (EMIm)[ $\text{MF}_6$ ] (M = Nb, Ta) (EMIm — 1-этил-3-метилимидазолий катион) [10], (18C6· $\text{H}_3\text{O}$ )[ $\text{MF}_6$ ] (M = Nb, Ta) (18C6-18-краун-6) [11], (bpzH<sub>2</sub>)(TaF<sub>6</sub>)<sub>2</sub> (bpz = 4,4'-бипиразол) [12], [(C<sub>6</sub>H<sub>5</sub>)<sub>3</sub>PCH<sub>3</sub>][TaF<sub>6</sub>] [13], а также в структурах ряда других структурно исследованных гексафторидных комплексных соединений Nb(V) и Ta(V).

В комплексном анионе  $[\text{NbF}_6]^-$  структуры I длины связей Nb—F лежат в интервале 1,875(4)–1,915(2) Å, а в координационном полиздре TaF<sub>6</sub> структуры II длины соответствующих связей на 0,01–0,02 Å меньше (см. табл. 2). В структурах I и II длина связи M—F(1) несколько увеличена по сравнению с длинами остальных связей M—F в полиздре, что обусловлено участием атома F(1) в трех средних по силе водородных связях (см. табл. 3). В свою очередь, длины связей M—F(4) и M—F(6), на атомы фтора которых направлены водородные связи

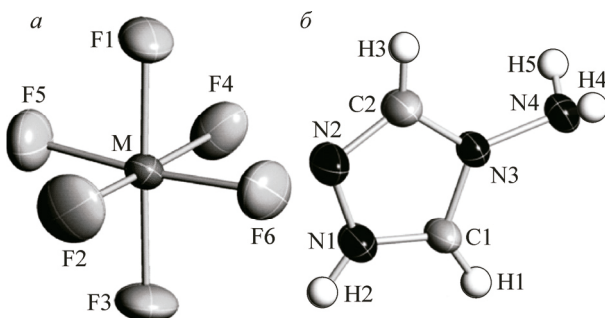


Рис. 1 (слева). Строение октаэдрического комплексного аниона  $[\text{MF}_6]^-$  (*a*) и гетероциклического катиона  $(\text{C}_2\text{H}_5\text{N}_4)^+$  (*b*) в структуре  $(\text{C}_2\text{H}_5\text{N}_4)\text{MF}_6$  (M = Nb, Ta)

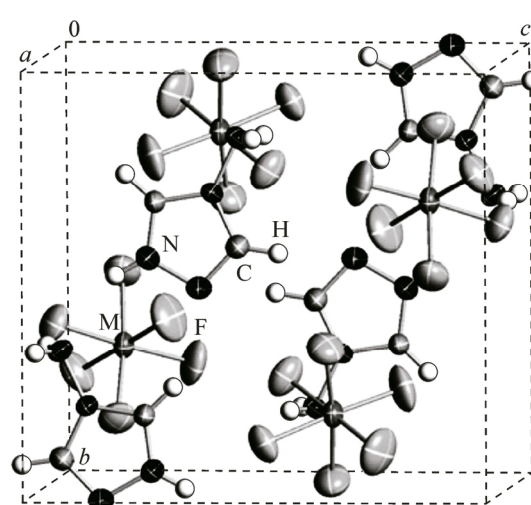


Рис. 2 (справа). Характер упаковки структурных элементов в элементарной ячейке  $(\text{C}_2\text{H}_5\text{N}_4)\text{MF}_6$  (M = Nb, Ta)

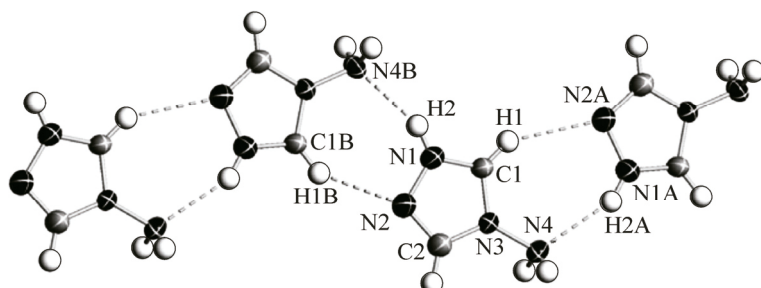


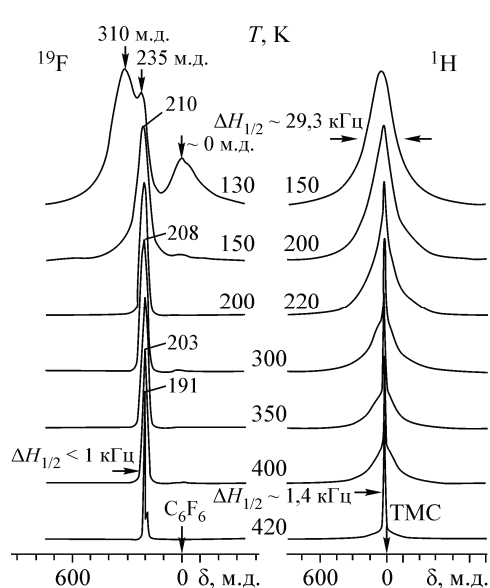
Рис. 3. Строение зигзагообразной полимерной цепи катионов  $(\text{C}_2\text{H}_5\text{N}_4)^+$  в структуре  $(\text{C}_2\text{H}_5\text{N}_4)\text{MF}_6$  ( $\text{M} = \text{Nb}, \text{Ta}$ )

$\text{N}-\text{H}\cdots\text{F}$ , также несколько увеличены по сравнению с длинами остальных связей  $\text{M}-\text{F}$  в полиздре. По сравнению с группой  $\text{N}-\text{H}$  группа  $\text{C}-\text{H}$  в структурах I и II образует более слабые водородные связи (см. табл. 3), что согласуется с литературными данными [12]. Образование водородных связей в структурах I и II ответственно за искажение октаэдров  $\text{MF}_6$  от идеального. *цикло*-Углы  $\text{F}-\text{M}-\text{F}$  в полиздре  $\text{NbF}_6$  лежат в интервале  $89,0(1)-91,9(1)^\circ$ , а в  $\text{TaF}_6$  они изменяются от  $88,8(2)$  до  $92,4(2)^\circ$ . *транс*-Углы  $\text{F}-\text{M}-\text{F}$  в  $\text{MF}_6$  отличаются от  $180^\circ$  на  $2-5^\circ$  (см. табл. 2).

Длины соответствующих связей  $\text{C}=\text{N}$ ,  $\text{C}-\text{N}$ ,  $\text{N}-\text{N}$  и  $\text{N}-\text{NH}_2$  в катионе  $(\text{C}_2\text{H}_5\text{N}_4)^+$  в структурах I и II весьма близкие (см. табл. 2). Водородными связями  $\text{N}(1)-\text{H}(2)\cdots\text{N}(4)$   $2,916(4)$  ( $2,969(5)$ ) Å и  $\text{C}(1)-\text{H}(1)\cdots\text{N}(2)$   $3,234(4)$  ( $3,243(6)$ ) Å катионы  $(\text{C}_2\text{H}_5\text{N}_4)^+$  объединяются в зигзагообразные полимерные цепи, простирающиеся вдоль оси  $b$  кристалла (рис. 3). В скобках приведены значения длин водородных связей для II (см. табл. 3). Ионными взаимодействиями и системой водородных связей катионы  $(\text{C}_2\text{H}_5\text{N}_4)^+$  и комплексные анионы  $[\text{MF}_6]^-$  в структурах I и II объединяются в трехмерное образование.

Исходя из изоструктурности  $(\text{C}_2\text{H}_5\text{N}_4)\text{NbF}_6$  и  $(\text{C}_2\text{H}_5\text{N}_4)\text{TaF}_6$  и практически одинакового характера спектров ЯМР обоих соединений, за исключением небольшого отличия в диапазоне температур, в котором происходят изменения формы спектров ЯМР, в работе рассмотрены и анализируются результаты ЯМР исследования  $(\text{C}_2\text{H}_5\text{N}_4)\text{TaF}_6$ .

Спектры ЯМР  $^{19}\text{F}$   $(\text{C}_2\text{H}_5\text{N}_4)\text{TaF}_6$  в области температур  $170-350$  K представлены одиночными симметричными линиями (рис. 4), форма которых практически не меняется в исследованном интервале температур. Небольшие значения второго момента спектров ЯМР  $^{19}\text{F}$  при



$170-350$  K ( $3,7-1,2$  Гц $^2$ ) свидетельствуют об отсутствии анизотропии химического сдвига и, следовательно, основной вклад в ширину одиночной симметричной линии обусловлен межъдерными диполь-дипольными взаимодействиями  $\text{F}-\text{F}$  и  $\text{F}-\text{H}$ . С другой стороны, наблюдаемая форма резонансной линии указывает на наличие быстрого обмена между лигандами в полиздре  $\text{TaF}_6$ , что приводит к "выравниванию" расстояний  $\text{Ta}-\text{F}$  в октаэдре, хотя по результатам рентгеноструктурного исследования  $(\text{C}_2\text{H}_5\text{N}_4)\text{TaF}_6$  октаэдры  $\text{TaF}_6$  несколько искажены (см. табл. 2). Регистрация одиночной линии, обусловленной быстрым обменом между аксиальными и экваториальными атомами фтора в координационном полиздре ниobia, имеет место, например,

Рис. 4. ЯМР  $^{19}\text{F}$  и  $^1\text{H}$  спектры  $(\text{C}_2\text{H}_5\text{N}_4)\text{TaF}_6$  при различных температурах

в спектрах ЯМР  $^{19}\text{F}$   $(\text{NH}_4)_3\text{NbOF}_6$  [14]. Из полученных данных ЯМР  $^{19}\text{F}$  следует, что основным видом ионных движений в  $(\text{C}_2\text{H}_5\text{N}_4)\text{TaF}_6$  в диапазоне температур 170—350 К являются изотропные реориентации октаэдрических группировок  $[\text{MF}_6]^-$  [8, 9].

При понижении температуры от 170 до 150 К величина второго момента  $S_2(\text{F})$  увеличивается до  $\sim 40$  Гц $^2$ , что в отсутствие фазового перехода в соединении в этой области температур (данные ДСК) обусловлено изменением характера ионных движений во фторидной подрешетке. Расчет внутримолекулярного вклада во второй момент для жесткой решетки, выполненный с учетом расстояний между центральным атомом и атомами фтора в октаэдре  $\text{TaF}_6$ , дает величину 3,89 Гц $^2$ , что без учета межмолекулярного вклада несколько превышает экспериментальное значение  $S_2(\text{F})$  спектров ЯМР  $^{19}\text{F}$  в области температур 170—350 К. Следовательно, в  $(\text{C}_2\text{H}_5\text{N}_4)\text{TaF}_6$  жесткая решетка (отсутствие ионной подвижности во фторидной подрешетке с частотами выше 10 $^4$  Гц) реализуется ниже 170 К.

Анализ величин  $\Delta H_{1/2}$  и  $S_2(\text{F})$  в области температур 170—350 К показывает, что с повышением температуры происходит трансформация спектра ЯМР  $^{19}\text{F}$ , связанная с некоторым сужением резонансной линии с 12,8 до 11,1 кГц и небольшим уменьшением второго момента спектров ЯМР  $^{19}\text{F}$  от 3,7 до 1,3 Гц $^2$ . Наблюдаемые изменения параметров спектров ЯМР, вероятно, обусловлены усилением локальной подвижности во фторидной подрешетке  $(\text{C}_2\text{H}_5\text{N}_4)\text{TaF}_6$ .

Уменьшение величины  $S_2(\text{F})$  в спектрах ЯМР  $^{19}\text{F}$   $(\text{C}_2\text{H}_5\text{N}_4)\text{TaF}_6$  в диапазоне температур 170—150 К, по-видимому, обусловлено началом перехода октаэдрических группировок от изотропных реориентаций к жесткой решетке, который происходит через промежуточный этап, в котором реализуется вращение октаэдра  $\text{TaF}_6$  вокруг одной из осей симметрии.

С понижением температуры от 170 до 130 К наблюдается трансформация спектра ЯМР  $^{19}\text{F}$ , связанная с появлением двух новых широких компонент (см. рис. 4). При этом в спектре ЯМР при 130 К остается также относительно узкая линия с химическим сдвигом 235 м.д., которая регистрируется в спектрах ЯМР выше 150 К с несколько меньшим химическим сдвигом (см. рис. 4). Эти данные свидетельствуют о возможном присутствии в  $(\text{C}_2\text{H}_5\text{N}_4)\text{TaF}_6$  при температуре 130 К двух типов координационных полизэдов тантала с разной динамикой во фторидной подрешетке. В одном из типов обменные процессы между аксиальными и экваториальными атомами фтора в октаэдре  $\text{TaF}_6$  "заморожены", на что указывает наличие в спектре ЯМР двух широких линий с химическими сдвигами  $\sim 310$  и 0 м.д. (см. рис. 4). Наряду с ними при 130 К остаются полизэды, в которых быстрый обмен между лигандами сохраняется, в результате чего в спектре ЯМР регистрируется одиночная линия с химическим сдвигом 235 м.д. и шириной  $\approx 16$  кГц. При этом второй момент спектра увеличивается до  $\approx 280$  Гц $^2$ .

Компьютерное моделирование спектра ЯМР  $^{19}\text{F}$   $(\text{C}_2\text{H}_5\text{N}_4)\text{TaF}_6$  показывает, что при 130 К соотношение интенсивностей широких компонент равно, примерно, 1:3, что несколько выше теоретического значения (2:4) для тетрагонально-искаженных октаэдров. Поскольку по данным рентгеноструктурного исследования в структуре  $(\text{C}_2\text{H}_5\text{N}_4)\text{TaF}_6$  содержится только один тип полизэдов тантала, то следует ожидать, что при дальнейшем понижении температуры обменные процессы между аксиальными и экваториальными атомами фтора в полизэдрах  $\text{TaF}_6$  будут полностью "заморожены", и в спектре ЯМР  $^{19}\text{F}$  останутся только две компоненты с соотношением интегральных интенсивностей 2:4.

Выше 350 К начинается новая трансформация спектра ЯМР  $^{19}\text{F}$   $(\text{C}_2\text{H}_5\text{N}_4)\text{TaF}_6$ , связанная с появлением узкой компоненты с шириной  $\sim 1,3$  кГц и химическим сдвигом 195 м.д. (см. рис. 4). При 350 К она занимает  $\approx 1,3$  % от общей площади спектра ЯМР. С повышением температуры до 400 К интегральная интенсивность этой компоненты увеличивается до 7 % с последующим ростом до 50 % при 410 К (данные компьютерного моделирования). Учитывая ширину ( $\sim 1$  кГц при 410 К) и ее форму, эту компоненту следует связать с появлением выше 350 К диффузии во фторидной подрешетке  $(\text{C}_2\text{H}_5\text{N}_4)\text{TaF}_6$ . Аналогичная картина наблюдается в  $\text{KTaF}_6$  выше 370 К [15]. В области температур 380—390 К  $\text{KTaF}_6$  переходит в суперионную фазу, в которой реализуется межузельный механизм трансляционной диффузии. Характер спектра ЯМР  $^{19}\text{F}$   $(\text{C}_2\text{H}_5\text{N}_4)\text{TaF}_6$  выше 420 К обусловлен изменением агрегатного состояния соединения.

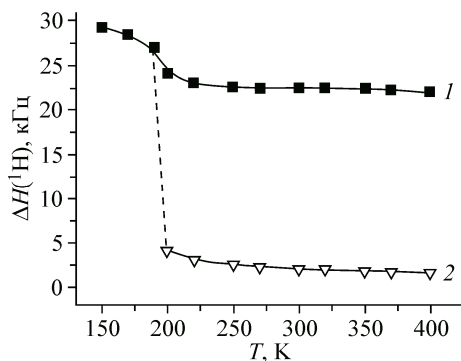


Рис. 5. Температурная зависимость ширины линии спектров ЯМР <sup>1</sup>H ( $C_2H_5N_4$ )TaF<sub>6</sub>: широкая компонента (1), узкая компонента (2)

Спектры ЯМР <sup>1</sup>H ( $C_2H_5N_4$ )TaF<sub>6</sub> (см. рис. 4) в области температур 150—190 K состоят из слегка асимметричных линий, ширина которых уменьшается по мере повышения температуры (рис. 5). Выше 190 K наблюдается трансформация спектра, связанная с появлением узкой компоненты ( $\Delta H_{1/2} \approx 4$  кГц,  $T = 200$  K), интенсивность которой в интервале температур 220—400 K возрастает от 8 до

12 %, а ширина уменьшается до ~2 кГц (см. рис. 5). В области температур 350—400 K наблюдается некоторая стабилизация как формы спектров ЯМР, так и отношения площадей обеих компонент (см. рис. 4). Причина появления узкой компоненты в спектрах ЯМР <sup>1</sup>H ( $C_2H_5N_4$ )TaF<sub>6</sub> может быть обусловлена как реориентациями группы N(4)H<sub>2</sub> вокруг связи N(4)—N(3) в катионе ( $C_2H_5N_4$ )<sup>+</sup>, так и возникновением локальной подвижности одного из протонов в катионе выше 190 K. Энергия активации этого процесса, оцененная по формуле Уо—Федина [9], равна 0,30 эВ. Повышение температуры до 420 K приводит к трансформации спектра, связанной, вероятно, с дальнейшим развитием реориентаций или конформационных переходов в катионе. Ширина основания спектра, обусловленная в основном межпротонными взаимодействиями, в процессе трансформации изменяется незначительно. При этом интегральная интенсивность узкой компоненты увеличивается до 50 %.

Исследование кристаллической структуры ( $C_2H_5N_4$ )MF<sub>6</sub> (M = Nb, Ta) в сочетании с данными ЯМР <sup>1</sup>H и <sup>19</sup>F позволило установить строение синтезированных соединений и определить характер и динамику ионных движений во фторидной подрешетке изученных комплексных фторидов ниобия(V) и tantalа(V).

#### СПИСОК ЛИТЕРАТУРЫ

1. Sanchez C., Shea K.J., Kitagawa S. // Chem. Soc. Rev. – 2011. – **40**, N 2. – P. 471 – 472.
2. Давидович Р.Л., Пущилин М.А., Логвинова В.Б., Герасименко А.В. // Журн. структур. химии. – 2013. – **54**, № 4. – С. 696 – 701 (J. Struct. Chem. – 2013. – **54**, N 4. – P. 741 – 746).
3. Давидович Р.Л., Ткачев В.В., Логвинова В.Б., Ставила В. // Журн. структур. химии. – 2014. – **55**, № 6. – С. 1140 – 1148 (J. Struct. Chem. – 2014. – **55**, N 6. – P. 1083 – 1090).
4. Герасименко А.В., Давидович Р.Л., Пущилин М.А., Логвинова В.Б. // Журн. структур. химии. – 2015. – **56**, № 8. – С. 1648 – 1656.
5. Удовенко А.А., Давидович Р.Л., Логвинова В.Б. // Журн. структур. химии. – 2015. – **56**, № 8. – С. 1685 – 1690.
6. Sheldrick G.M. // Acta Crystallogr. – 2008. – **A64**, N 1. – P. 112 – 122.
7. Bruker. APEX II. Bruker AXS Inc., Madison, Wisconsin, USA, 2005.
8. Габуда С.П., Гагаринский Ю.В., Полищук С.А. ЯМР в неорганических фторидах. – М.: Атомиздат, 1978.
9. Лундин А.Г., Федин Э.И. ЯМР-спектроскопия. – М.: Наука, 1986.
10. Matsumoto K., Hagiwara R., Yoshida R. et al. // Dalton Trans. – 2004. – N 1. – P. 144 – 149.
11. Fonari M.S., Simonov Yu.A. Wang W.-J. et al. // Polyhedron. – 2007. – **26**, N 18. – P. 5193 – 5202.
12. Boldog I., Daran J.-C., Chernega A.N. et al. // Cryst. Growth Des. – 2009. – **9**, N 6. – P. 2895 – 2905.
13. McLoughlin M.A., Keder N.L., Kaska W.C. // Acta Cryst. – 1992. – **C48**, N 6. – P. 1098 – 1099.
14. Kavun V.Ya., Gabuda S.P., Kozlova S.G. et al. // J. Fluorine Chem. – 2011. – **132**. – P. 698 – 702.
15. Габуда С.П., Козлова С.Г., Кригер Ю.Г., Гончарук В.К. // Журн. структур. химии. – 1986. – **27**, № 2. – С. 51 – 57.